

磁氣컴퍼스 方位指示部의 制振特性

安 瑛 化* · 鄭 公 厚*

Characteristic of Damping Curve for the Directional System of Magnetic Compass

Young-Wha AHN* and Kong-Heun JEONG*

This paper describes that the characteristic of movement and the performance of the directional system of the liquid magnetic compass analyze and investigate in the kinds of compass and the coefficient of viscosity of the liquid of compass, which the horizontal magnetic field of the geo-magnetic is varied from the equator to the polar region (0.39 gauss-0.03 gauss) by use of apparatus generating artificial magnetic fields.

The results are as follows;

1. It is confirmed that the measured values and the calculated values on the characteristic of damping curve by the type of compass and coefficient of viscosity has almost agree with one another.
2. As the horizontal magnetic force geo-magnetic field approaches around the equator (0.39 gauss), the horizontal magnetic field get near the polar region (0.03 gauss), its period is to be longer and the compass card prove not to be more stabilized.
3. The coefficient of viscosity of the liquid in the A, B, C, D and E compasses used in the experiment is estimated 0.03 poises, 0.02 poises, 0.02 poises, 0.015 poises and 0.048 poises respectively by computer simulation.

緒論

船舶의 針路維持와 物標의 方位測定에 이용되고 있는 液體式 磁氣컴퍼스 카아드의 安定性은 주로 方位指示部의 制振曲線의 週期와 過行角를 要素으로 하는 制振特性과 地球磁場의 세기에 따라 다르다.

이들 상호간의 관계에 대한 研究로는 能凝, 石井¹⁾ 等의 磁氣컴퍼스 性能調査를 위한 磁氣羅針儀實驗室의 磁場測定 및 檢定裝置, 川崎, 鈴木^{2,3)} 等의 磁氣컴퍼스 카아드의 制振曲線에 관한 研究, 鈴木⁴⁾ 의 磁氣컴퍼스 性能改善에 관한 研究等이 있으나, 우리나라에서는 安·鄭⁵⁾ 等의 人工磁場發生裝置와 磁氣컴퍼스 性能에 관한 研究를 제외하고는, 이에 대한 研究가 이루어진 바 없다.

本研究는 船舶의 位置變化로 인한 地球磁場의 變化에 對應할 수 있는 人工磁場發生裝置를 하여 地球磁場中 컴퍼스의 方位指示部에 直接的인 影響을 미치는 水平磁場의 세기에 따른 컴퍼스種類別, 카아드의 크기別, 컴퍼스液의 粘性係數別, 磁針의 磁氣率別, 磁氣컴퍼스 方位指示部의 制振特性을 測定하여 實驗式⁶⁾에 의한 計算值와 比較, 檢討하였다.

材料 및 方法

1. 材料

本 實驗에 使用한 磁氣컴퍼스는 現在 船舶에서 많이 使用하고 있는 日本製 磁氣컴퍼스 4種(A, B, C,

* 濟州大學校 : Jeju National University

磁氣컴퍼스 方位指示部의 制振特性

Table 1. Specification of the experimented magnetic compass

Type of compass	Clearance (mm)	Diameter of card (mm)	Magnetic moment (c. g. s.)	Manufactured year
A	11	190	2,385	1,979
B	17	178	1,961	1,966
C	23.5	165	1,640	1,970
D	3.5	187	1,271	1,950
E	4	97	994	1,980

Table 2. Specification of the helmholtz coil

Diameter (mm)	Distance of helmholtz coil (mm)	Width (mm)	Diameter of coil (mm)	Winding number (turns)
1,000	750	50	1	117

D)과 韓國製磁氣컴퍼스 1種(E)이며, 그 性能諸元은 Table 1과 같다.

2. 實驗裝置

1) 人工磁場發生裝置

磁場의 세기에 따른 磁氣컴퍼스의 性能을 調査하기 위하여 製作한 人工磁場發生裝置는 水平 및 垂直으로 된 2組의 Helmholtz Coil에 電流 加減裝置를 했으며, 그 裝置의 系統圖는 Fig. 1과 같고, 諸元은 Table 2와 같다.

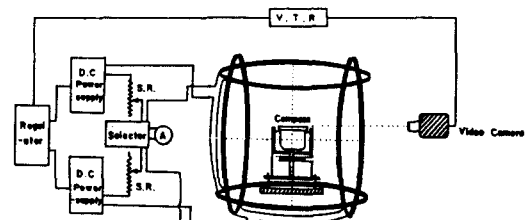


Fig. 1. Block diagram of the apparatus generating artificial magnetic force and testing performance of magnetic compass.

Fig. 1에서 人工磁氣發生裝置는 水平, 垂直磁場을 발생시키는 각 2組의 Helmholtz Coil을 地面에 水平, 垂直되게 하고, 그 간격을 75cm 떨어지게 하여 上下, 左右로 대칭되게 배치하였으며, 그 中心이 磁氣子午線과 일치하도록 설치하였다.

磁氣子午線의 方向은 자이로컴퍼스에 의한 指北方향과 地磁氣의 地域偏差⁶⁾에 의하여 구하였으며, 컴퍼스는 磁針이 그 中心을 통과하도록 장치하였다.

3. 實驗方法

1) 垂直 및 水平磁場 测定

人工磁場發生裝置內에서의 垂直磁場은 그 裝置의

中心에 傾針儀를 水平으로 設置한 후 傾針儀 内部의 鐘의 눈금을 0에서 25까지 차례로 옮기면서 슬라이드 抵抗을 調節하여 磁針이 平衡을 이루었을 때의 電流를 测定하여 구하였다.

水平磁場은 裝置의 中央에 컴퍼스를 놓고 그 위에 偏針儀의 指針을 135°에 固定시킨 후 電流를 -100mA에서 +140mA까지 10mA간격으로 繼化시키면서 컴퍼스 카아드의 指北端이 磁氣子午線과 90°의 交角을 이루도록 偏針儀의 눈금을 조절하여 测定하였으며, 垂直磁場(Z) 및 全水平磁場(H)과 電流와의 關係는 각각 다음 式⁵⁾에 의하였다.

$$\begin{aligned} Z &= 0.340 + 1.506I_1 \\ H &= 0.183 + 1.506I_1 \end{aligned} \quad \} \quad (1)$$

2) 制振特性 試驗

컴퍼스 카아드의 制振特性은 地磁氣의 水平分力에 따라 變하므로 人工磁場發生裝置에 의해 水平磁場을變化시키면서 小型 永久磁石으로 컴퍼스 카아드의 指北端을 磁氣子午線으로 부터 45° 偏角시킨 후 永久磁石을 빼었을 때, 카아드의 指北端이 磁北으로 되돌아와 静止할 때 까지의 旋回運動을 Video Cammera로 摄影하여 V.T.R로써 制振曲線의 週期(T), 過行角(P_t) 및 主要點까지의 經過時間(t_i)을 测定하였으며, 磁場의 세기에 따른 컴퍼스種類 및 液의 粘性係數別 制振曲線의 测定值와 比較, 檢討하기 위한 計算值는 다음 式³⁾에 의하였다.

$$\theta = \frac{\pi}{\sqrt{1-\xi^2}} e^{-\xi\omega t} \cdot \cos(\omega\sqrt{1-\xi^2}t + \varphi) \quad (2)$$

$$\text{但, } \xi = \frac{K}{\sqrt{MH}}, \quad \omega = \sqrt{\frac{MH}{I}}, \quad \tan \varphi = \frac{\xi}{\sqrt{I-\xi^2}}$$

θ : 磁北에서의 偏角(degree)

I : 컴퍼스 카아드의 慣性能率(g-cm²)

K : 減衰定數, H : 水平磁場(gauss)

M : 磁針의 磁氣能率(C.G.S.E.M.U)

(2)式은 制振曲線에 의한 磁氣컴퍼스 카아드의 指北方程式으로서 카아드의 初期位相角을 $\frac{\pi}{4}$ 로 하였을 때 時間 t 에 따라 減衰運動하는 偏角의 變化를 나타낸 것으로, 本 實驗에서는 (2)式에 의한 計算值와 測定值의 制振曲線을 Fig. 2와 같이 作成하여 比較, 分析하였다.

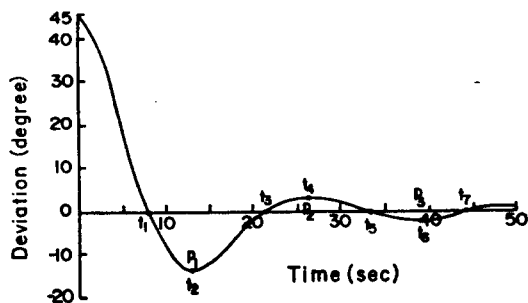


Fig. 2. Notation of the principal time and peak angle of a damping curve.

Fig. 2의 制振曲線에서 카아드를 45° 偏角시킨 후, 카아드의 指北端이 최초로 磁北을 통과하는 時機를 t_1 , 다음 反對側으로 過行角이 最大로 達한 時機를 t_3 , 그후 다시 過行角이 最大에 達한 時機, 또 다시 磁北을 통과하는 時機 等, 카아드의 指北端이 磁北을 통과하는 時機와 最大角이 되는 時機 等의 主要點까지의 經過時間을 t_i 로 表示했으며, 過行角이 最大로 達했을 때를 $P_1, P_2, P_3, \dots, P_7$ 로 하였고, 여기서 P_1 은 第一過行角, D 는 最初偏角에 대한 制動角의 比인 減衰率이며, m 은 初期位相角에서 偏角이 反對側으로 最大에 달한 후 다시 磁北을 지나 最大가 되었을 때의 振搖回數이고, 週期 T 는 t_6 와 t_1 의 차로 表示하였다.

3) 磁針의 磁氣能率과 컴퍼스液의 粘性係數測定

實驗에 使用한 컴퍼스種類別 磁針의 磁氣能率測定은 Tangent式⁷⁾으로 测定하였으며, 컴퍼스液의 粘性係數는 純度 99.8%의 에칠헥실과 종류수를 각각 3:7, 7:13, 4:6, 5:5의 比率로 混合한 液의 溫度를 각각 15°C , 20°C , 25°C , 30°C 로 變化시켜 Ostward粘度計로 测定한 값 (Fig. 3)을 이용하였다.

結果 및 考察

1. 컴퍼스種類別 制振特性과 主要點의 變化

Table 1의 컴퍼스種類別 制振特性을 水平磁場의

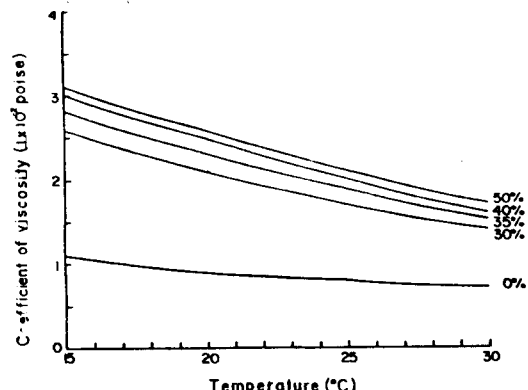


Fig. 3. Relation between coefficient of viscosity and temperature for the liquid mixed ethylalcohol and distilled water.

세기에 따라 测定한 测定值와 (2)式에 의한 計算值는 Fig. 4(a)와 같다.

Fig. 4(a)에서 磁場의 세기는 極地, 實驗場所, 韓國標準磁場, 赤道附近의 地磁氣의 水平磁場에 해당되는 0.03 gauss, 0.18 gauss, 0.30 gauss, 0.39 gauss別로 나타내었다.

Fig. 4에서 實驗에 사용한 5種의 컴퍼스에 대한 制振曲線으로 부터, 時間に 따른 偏角變化의 感度, 週期 및 過行角의 测定值와 計算值를 구한 結果는 Table 4와 같다.

Table 4에서 컴퍼스種類別 制振曲線에 대한 각 要素의 测定值와 計算值는 거의 一致하였으며, 磁場의 세기가 강할수록 週期는 짧고, 過行角은 크게 나타났다.

水平磁場이 0.39, 0.30, 0.18 gauss에서의 週期는 D컴퍼스가 각각 18, 22, 30초로서 가장 길었고, E컴퍼스가 각각 10, 12, 21초로서 가장 짧았으며, 0.03 gauss에서는 週期는 测定할 수 없었다.

따라서, 우리나라의 標準水平磁場인 0.30 gauss를 基準하여 實驗에 사용한 컴퍼스에서 测定한 諸要素와 ISO의 許用範圍^{8,9)}와 比較하면, 減衰率은 實驗用 컴퍼스 모두가 ISO의 許用範圍인 0.6~0.8 이내였고, 振搖回數는 A, B, C컴퍼스는 3회로 許用範圍이내이나, D, E컴퍼스는 2회로 許用範圍에 미달되었다.

또, 過行角은 D, C, A, E, B컴퍼스 순으로 크고, 週期는 E, B, C, A, D컴퍼스 순으로 길었다.

A컴퍼스는 性能諸要素가 ISO의 許容範圍内였으며, B컴퍼스는 週期가 15.1초로서 ISO 許容範圍에 미달되었다.

磁氣컴퍼스 方位指示部의 制振特性

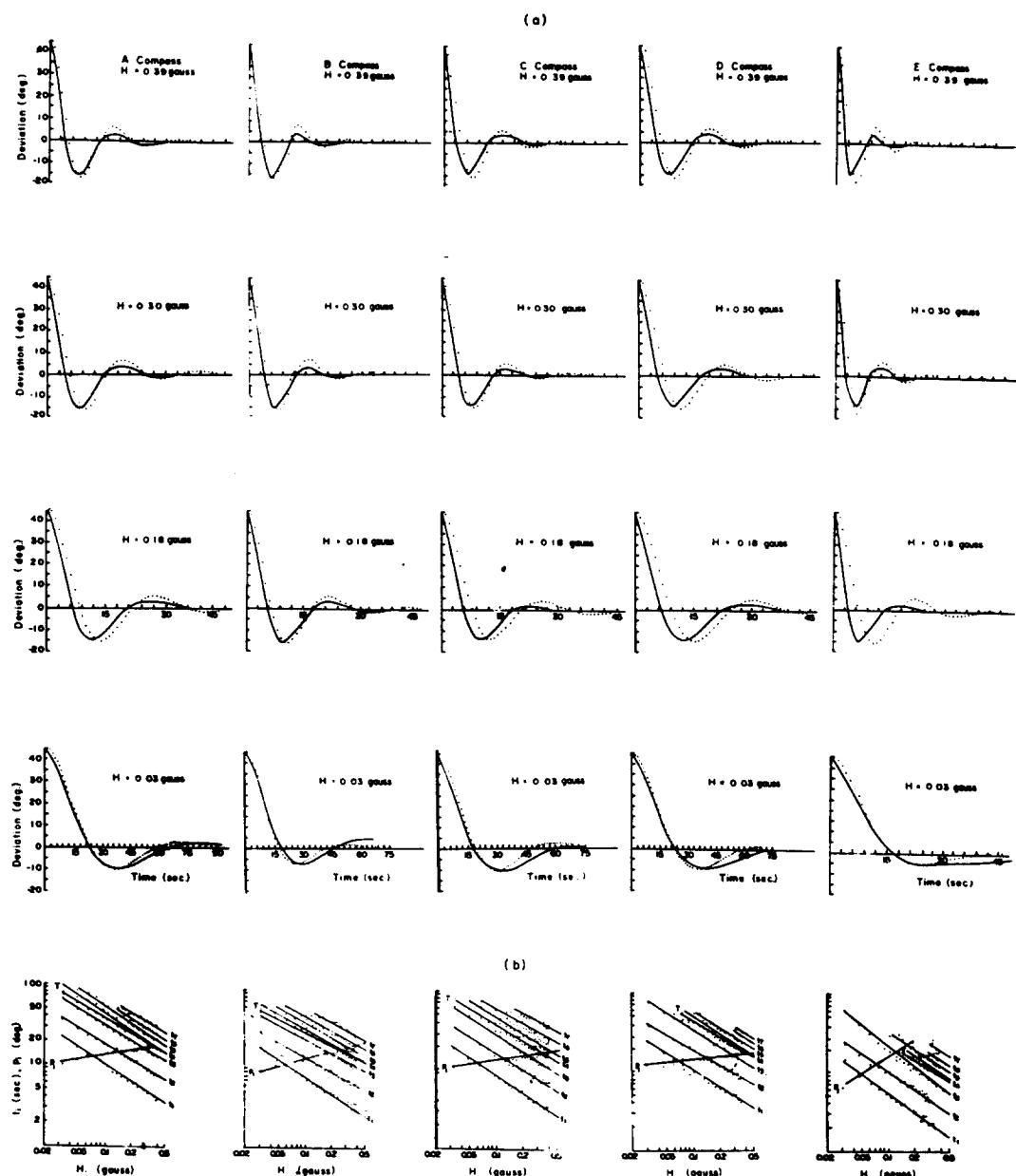


Fig. 4. Damping curves(a) variation of the principal points(b) and by the types of compass in the horizontal magnetic fields.

..... : calculated values, — : measured values

C 컴퍼스는 諸要素가 모두 許容範圍 이내이나, 컴퍼스 카아드의 外徑이 보울의 內徑에 비하여 너무적어 Clearance가 크기 때문에 感度가 예민하여 컴퍼스 카아드가 不安定한 狀態이고, D 컴퍼스는 磁氣能率이 1,271 gauss로 許容範圍보다 적어 振搖回數가

2回로써, 미달된 것은 製作年度가 오래되었기 때문이며, E 컴퍼스는 磁針의 磁氣能率이 許容範圍보다比較的 높은 994 gauss로 週期는 짧았으나, 振搖回數가 2回로써 許容範圍에 미달되었다.

따라서, 컴퍼스를 製作할 때는 磁針의 磁氣能率,

安瑛化·鄭公煥

Table 4. The comparison of the measured values and the calculated values of damping curve by the types of compass in the horizontal magnetic field.

Type of compass	Horizontal magnetic field (gauss)	Damping factor (D)		Swing number (m)		Damping degree (P)		Period (T)		Sensitivity (t)	
		M*	C**	M	C	M	C	M	C	M	C
A	0.39	0.63	0.63	3	4	16.8	16.8	16.2	16.2	4.1	4.3
	0.30	0.64	0.64	3	4	16.2	16.3	19.4	18.5	4.6	6.0
	0.18	0.66	0.66	3	3	15.1	15.3	27.4	30.0	6.6	8.0
	0.03	0.77	0.77	2	2	10.2	10.2	72.0	70.7	22.3	22.3
B	0.39	0.60	0.60	3	4	18.0	17.9	13.0	13.0	3.0	3.2
	0.30	0.62	0.62	3	4	17.1	17.2	15.1	15.2	3.7	3.8
	0.18	0.65	0.65	3	4	15.8	15.9	21.1	21.1	5.4	5.6
	0.03	0.83	0.84	2	2	7.5	7.3	—	51.0	18.2	18.0
C	0.39	0.64	0.64	3	3	16.0	16.0	15.0	13.0	3.0	4.5
	0.30	0.66	0.65	3	4	15.5	15.8	16.5	16.0	3.5	4.0
	0.70	0.71	0.71	3	3	13.5	13.0	26.0	25.5	5.5	8.5
	0.03	0.77	0.78	2	2	10.5	10.0	—	59.5	18.5	18.5
D	0.39	0.13	0.60	3	4	16.5	18.0	18.0	17.0	4.0	5.5
	0.30	0.67	0.66	2	4	15.0	15.2	22.0	21.5	5.0	6.5
	0.18	0.68	0.62	2	3	14.5	15.0	30.0	28.0	6.5	9.
	0.03	0.80	0.80	1	2	9.0	9.0	—	70.0	23.0	22.5
E	0.39	0.59	0.57	3	4	18.5	19.5	10.0	10.0	2.0	3.0
	0.30	0.62	0.58	2	4	17.0	19.0	12.0	12.5	2.5	3.5
	0.18	0.64	0.62	2	3	16.0	17.0	21.0	20.0	4.0	6.2
	0.03	0.88	0.89	1	2	5.5	5.0	—	45.0	15.0	15.0

* M: measured values, **C: calculated values

컴퍼스 카아드의 크기 및 地磁氣의 水平磁力を 고려 하여야 하며, 또한 장기간 사용중에 있는 컴퍼스는 시일이 經過함에 따라 磁針의 磁力이 減衰되고, 컴퍼스液의 粘性係數가 變化되므로 性能検査를 하여 사용하여야 함을 알 수 있었다.

Fig. 4(b)는 磁場의 세기를 0.03 gauss~0.39 gauss 까지 0.02 gauss 간격으로 测定한 制振曲線에 대한 主要點까지의 經過時間 t_i ($i=1, 2, 3\cdots$)와 過行角 P_i ($i=1, 2, 3$)를 兩對數方眼紙에 表示한 것이다.

Fig. 4(b)에서, 實驗用 컴퍼스 카아드의 過行角 (P_i)과 水平磁場 (H)間에는 각각 다음과 같은 正相關 關係이었으며,

$$\text{A 컴퍼스 : } P_1 = 20.32H^{0.18}$$

$$\text{B 컴퍼스 : } P_1 = 24.13H^{0.27}$$

$$\text{C 컴퍼스 : } P_1 = 17.68H^{0.13}$$

$$\text{D 컴퍼스 : } P_1 = 19.48H^{0.18}$$

$$\text{E 컴퍼스 : } P_1 = 27.43H^{0.35}$$

또한, 主要點까지의 經過時間 (t_i)과 水平磁場 (H)間에는 각각 다음과 같은 負相關 關係이었다.

$$\text{A 컴퍼스 : } t_1 = 2.14H^{-0.67}$$

$$\text{B 컴퍼스 : } t_1 = 1.59H^{-0.70}$$

$$\text{C 컴퍼스 : } t_1 = 1.55H^{-0.73}$$

$$\text{D 컴퍼스 : } t_1 = 2.11H^{-0.69}$$

$$\text{E 컴퍼스 : } t_1 = 0.98H^{-0.76}$$

따라서, 過行角은 水平磁場의 0.22乘에 比例하고, 主要點까지의 經過時間은 水平磁場의 -0.71乘에 比例함을 알 수 있다.

2. 컴퍼스液의 粘性係數別 制振特性과 主要點의 變化

B型 컴퍼스에 에칠클로로프로판과 증류수를 각각 3:7 (0.021 Poise), 7:13(0.023 Poise), 4:6(0.025 Poise), 5:5(0.026 Poise)의 比率로 混合한 컴퍼스液의 粘性係數別 制振曲線을 水平磁場의 세기에 따라 测定한 测定值와 (2)式에 의한 計算值의 結果는 Fig. 5(a)와 같다.

Fig. 5(a)에서 测定值와 計算值는 거의 一致하였으

磁氣컴퍼스 方位指示部의 制振特性

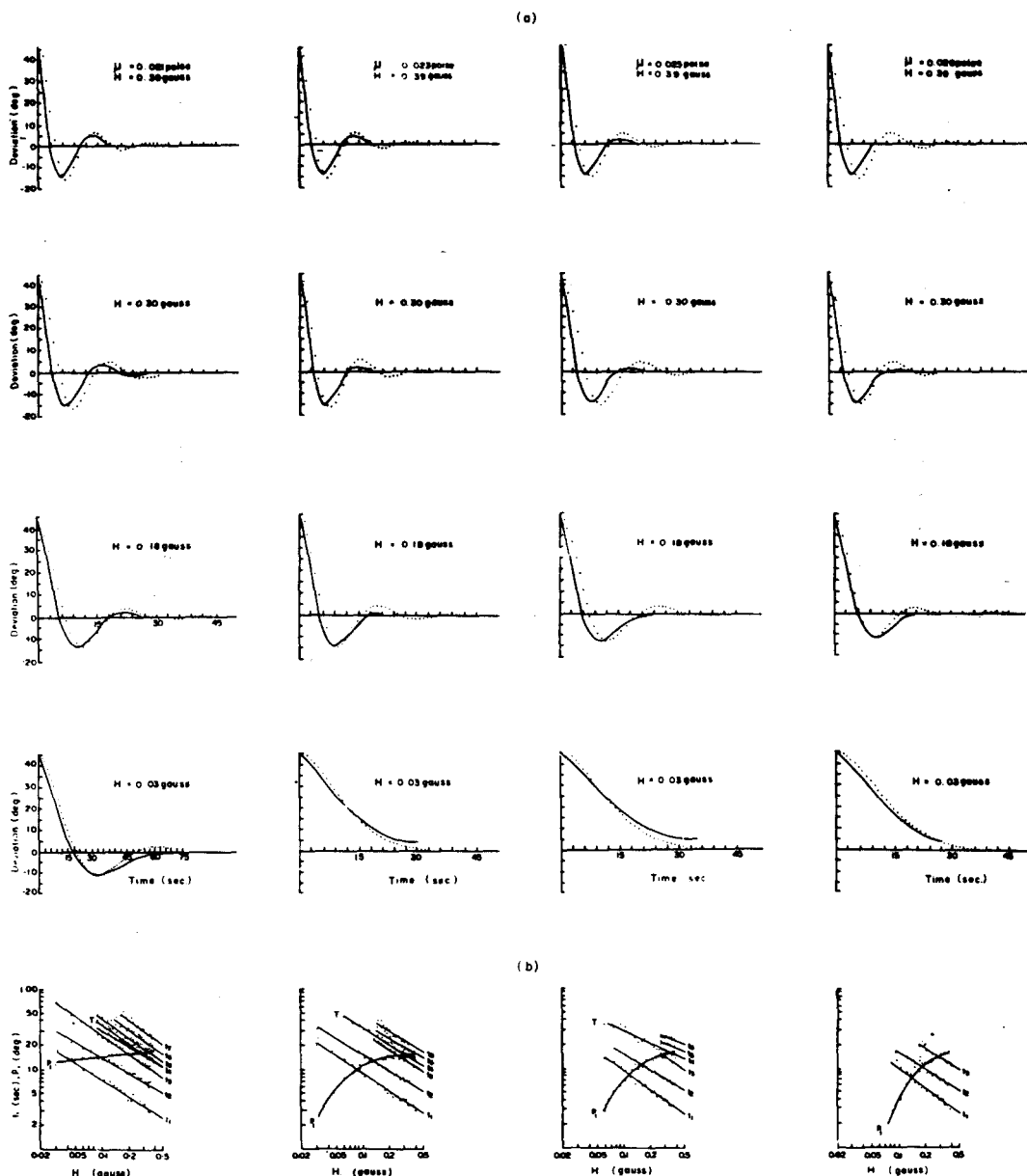


Fig. 5. Damping curves (a) variation of the principal points (b) and by the coefficient of viscosity of the liquid of compass in the horizontal magnetic fields.
: calculated values, —: measured values

며, 水平磁場이 강할수록 振幅은 크고, 周期는 짧은倾向을 나타내었다. 또한 粘性係數가 커짐에 따라周期는 짧아지며, 振搖回數는 0.39 gauss에서는 3, 2, 2, 1회, 0.30 gauss에서는 3, 2, 2, 1회, 0.18 gauss에서는 2, 2, 1, 1회, 0.03 gauss에서는 1, 0,

0.0회의 순으로 적어지는倾向을 나타내었다.
 따라서, 粘性係數에 대한 制振特性測定에 사용한 B形 컴퍼스에서는 粘性係數가 0.021 Poise로서 이칠 알콜과 증류수의 比率이 3:7인 컴퍼스液이 가장 適合하였다.

水平磁場의 세기를 0.03 gauss~0.39 gauss까지 0.02 gauss 간격으로 测定한 粘性係數別 制振曲線에 대한 主要點까지의 經過時間 $t_i(i=1, 2, 3\dots)$ 과 過行角 $P_i(i=1, 2, 3\dots)$ 를 兩對數 方眼紙에 나타내면 Fig. 5(b)와 같다.

Fig. 5(b)에서 粘性係數의 變化에 따른 컴퍼스 카아드의 過行角(P_i)과 水平磁場(H)에는 다음과 같은 正相關 關係이었고,

$$0.021 \text{ Poise} : P_1 = 18.63H^{0.13}$$

$$0.023 \text{ Poise} : P_1 = 27.08H^{0.50}$$

$$0.025 \text{ Poise} : P_1 = 30.06H^{0.61}$$

$$0.026 \text{ Poise} : P_1 = 53.02H^{1.08}$$

또한, 主要點까지의 經過時間(t_i)과 水平磁場(H)에는 각각 다음과 같이 負相關 關係였다.

$$0.021 \text{ Poise} : t_1 = 1.41H^{-0.73}$$

$$0.023 \text{ Poise} : t_1 = 1.51H^{-0.73}$$

$$0.025 \text{ Poise} : t_1 = 1.57H^{-0.78}$$

$$0.026 \text{ Poise} : t_1 = 1.36H^{-0.87}$$

過行角은 水平磁場의 0.13~1.08乘에 比例하고, 主要點까지의 經過時間은 水平磁場의 -0.80乘에 比例하였다.

要 約

液體式 磁氣컴퍼스 方位指示部의 制振特性을 人工磁場發生裝置內에서 水平磁場의 세기에 따라, 컴퍼스種類 및 컴퍼스液의 粘性係數別로 测定한 結果는 다음과 같다.

1. 컴퍼스種類別 制振特性은, 實驗用 컴퍼스(A, B, C, D, E) 모두 水平磁場의 세기가 강할수록 週期는 짧으며, 過行角은 커지는 傾向을 나타내었다.
2. 實驗用 컴퍼스 모두 地磁氣의 水平磁場이 0.39 gauss인 赤道附近에 가까울수록 磁氣컴퍼스 카아드는 비교적 빨리 安定되고, 水平磁場이 아주 약한 極地인 0.03 gauss에서는 週期는 45초 이상으로 길어져 不安定하였다.
3. 컴퍼스種類別 諸要素를 ISO의 性能基準과 比較

한 結果, A 컴퍼스가 그 性能이 가장 양호하여, 磁針의 磁氣能率과 카아드의 直徑이 磁氣컴퍼스 方位指示部의 制振特性에 큰 영향을 미침을 알 수 있었다.

4. 컴퍼스液의 粘性係數別 制振特性은 粘性係數가 크고 水平磁場이 강할수록 振幅은 커지며, 週期는 짧아지는 傾向을 나타내었다.

5. 컴퍼스種類別 制振曲線의 主要點까지의 經過時間(t_i)은 水平磁場(H)의 -0.71乘에, 過行角(P_i)은 0.22乘에 比例하였다으며, 컴퍼스液의 粘性係數에 따른 制振曲線의 主要點까지의 經過時間(t_i)은 水平磁場(H)의 -0.80乘에, 過行角(P_i)은 0.13~1.08乘에 比例하였다.

參 考 文 獻

1. 熊綱武晴・石井謙治 (1951): 磁氣羅針儀實驗室について. 漁船研究技報 2, 83-89.
2. 川崎種一 (1951): 磁氣羅針의 制振曲線について. 日本航海學會誌 3, 67-72.
3. 鈴木裕 (1961): 磁氣ユンパスの 制振特性について. 日本航海學會誌 24, 15-20.
4. _____ (1962): 船用磁氣ユンパスの 性能改善に関する研究. 東京水產大學特別研究報告6(3), 6-45.
5. 安瑛化・鄭公忻・安長榮・辛亨鎭(1983): 人工磁場發生裝置와 磁氣컴퍼스의 性能. 漁業技術 19 (2), 111-116.
6. 李相鎭(1979): 韓國南西海岸의 地磁氣偏差에 關하여. 海洋大學 論文集 14, 100-106.
7. 井關貢・庄司和民(1956): 新訂航海計器學. 海文堂, 東京, 15-16.
8. ISO/TC8/WGI (1974): Addendum to international Standard ISO 2269. Magnetic Compass and Accessories, Rules for Testing and Certification.
9. 鈴木裕(1979): 磁氣コンパスに 關する規格について. 日本航海學會誌 59, 50-54.